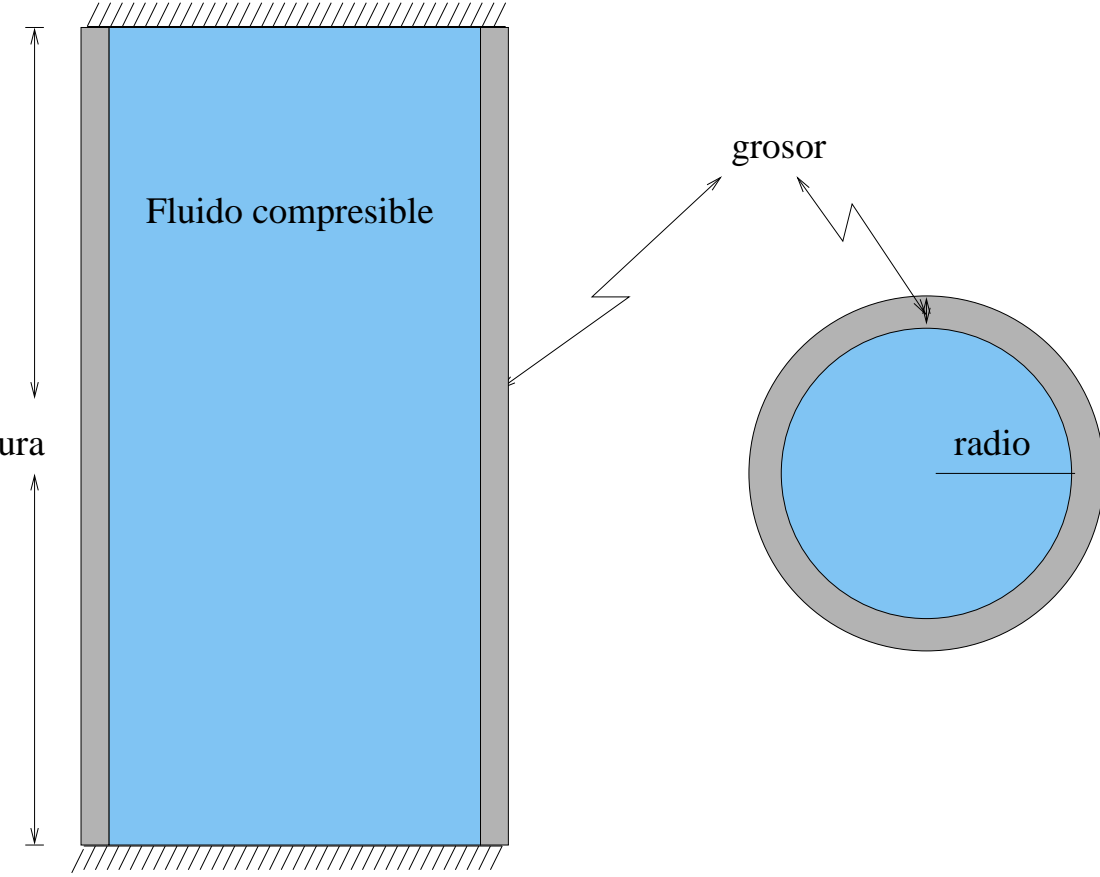
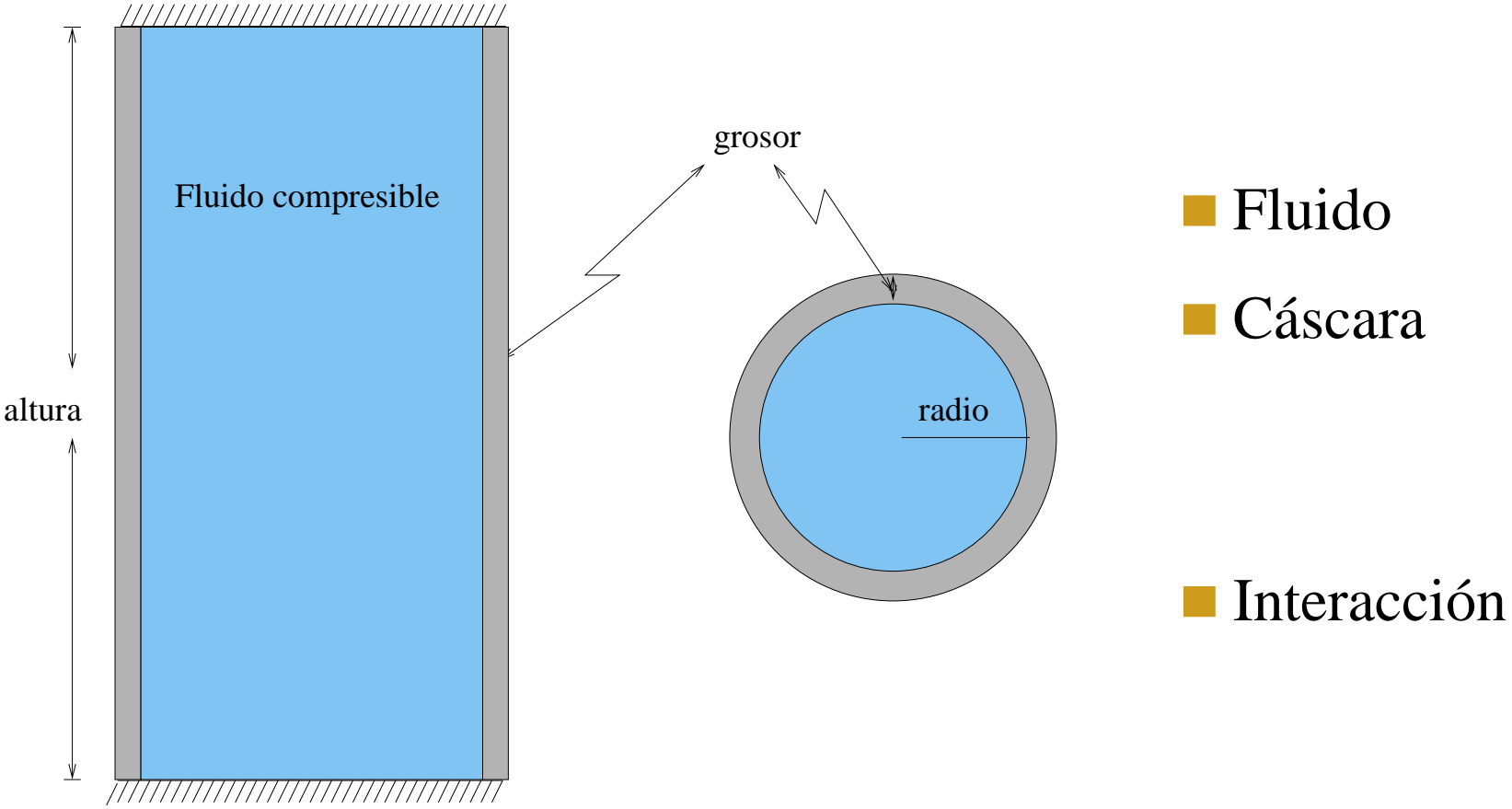

Cálculo de los modos de vibración de placas y cáscaras por elementos cuadrilaterales de bajo orden: MITC4

Erwin Carlos Hernández Hernández

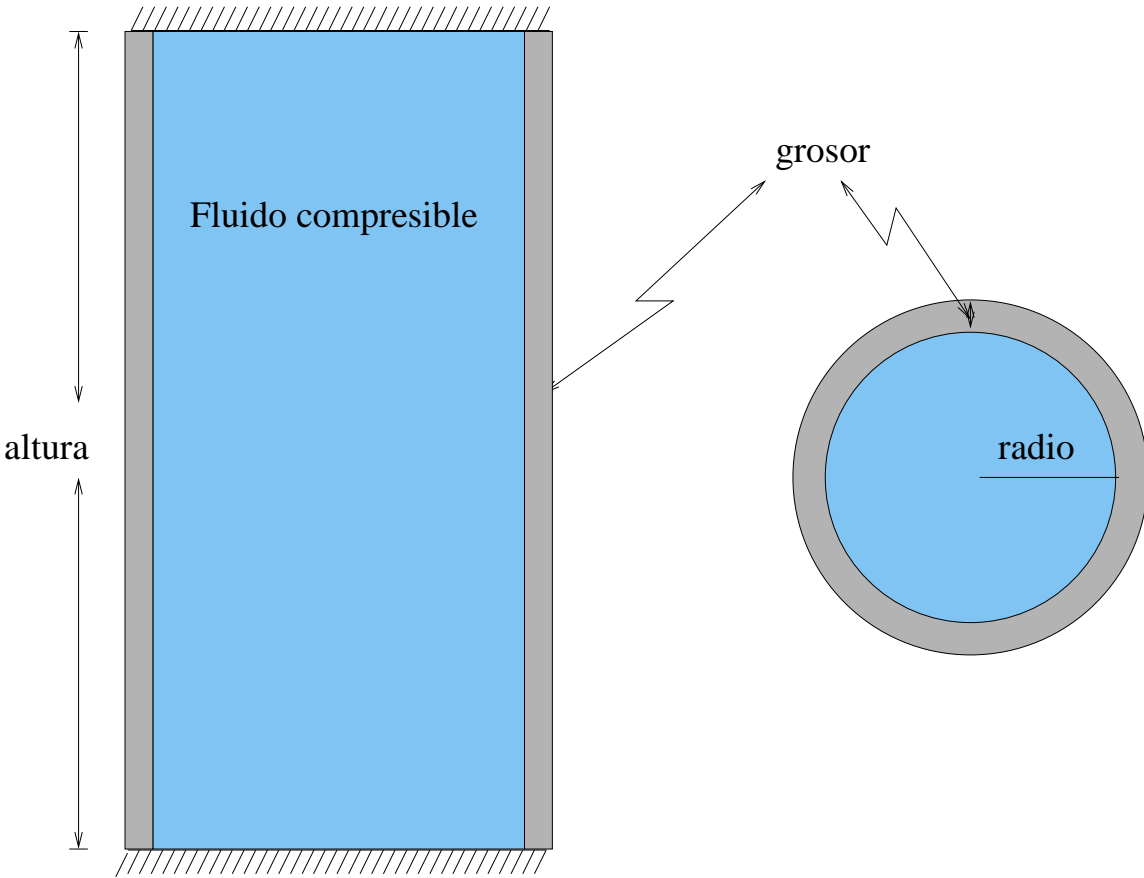
Introducción. Problemática



Introducción. Problemática



Introducción. Problemática



- Fluido
- Cáscara
 - ⇒modelo,
 - ⇒métodos.
- Interacción

Estructuras Delgadas

Cáscara (Shell): sólido 3D, en el cual una de las dimensiones, el grosor, es pequeño comparado con las otras dos.

Estructuras Delgadas

Cáscara (Shell): sólido 3D, en el cual una de las dimensiones, el grosor, es pequeño comparado con las otras dos.

■ Ingenieros:

■ Matemáticos:

Estructuras Delgadas

Cáscara (Shell): sólido 3D, en el cual una de las dimensiones, el grosor, es pequeño comparado con las otras dos.

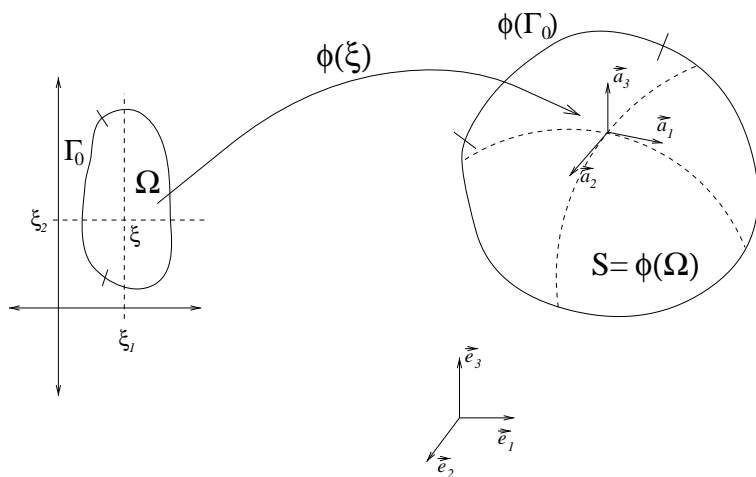
- Ingenieros: Elementos de cáscaras (degenerar elementos finitos 3D, hipótesis cinemáticas sobre el grosor)
 - Mayor versatilidad
 - Menor análisis matemático
- Matemáticos:

Estructuras Delgadas

Cáscara (Shell): sólido 3D, en el cual una de las dimensiones, el grosor, es pequeño comparado con las otras dos.

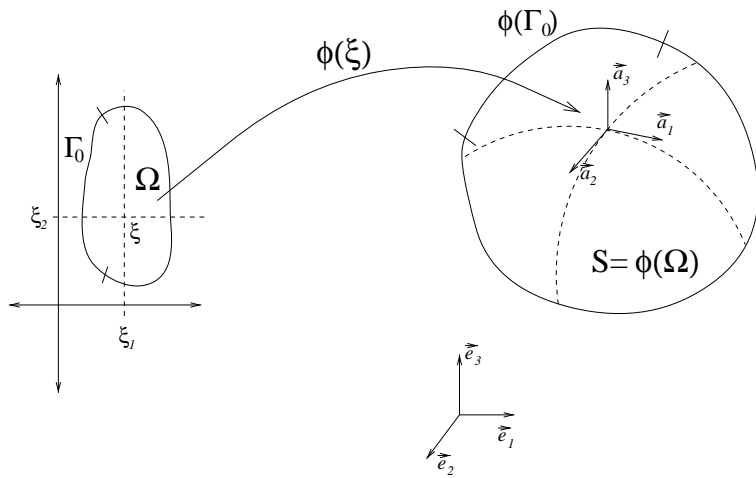
- Ingenieros: Elementos de cáscaras (degenerar elementos finitos 3D, hipótesis cinemáticas sobre el grosor)
 - Mayor versatilidad
 - Menor análisis matemático
- Matemáticos: Discretización de modelos clásicos bidimensionales.
 - Menor versatilidad (*carta*)
 - Mayor análisis matemático

Modelos clásicos de cáscaras

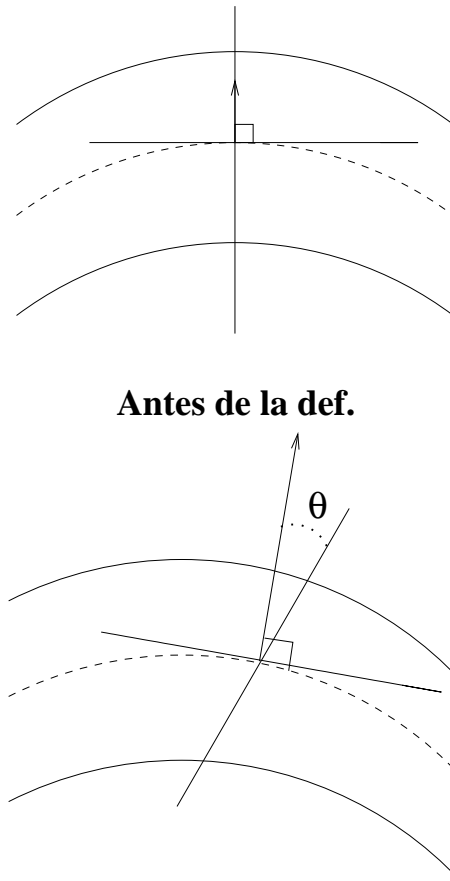


Superficie media de la cáscara.

Modelos clásicos de cáscaras



Superficie media de la cáscara.



Modelo de Naghdi

$$\mathcal{U} := \left\{ (\vec{u} := (\underline{u}, u_3), \underline{\theta} := (\theta_1, \theta_2)) \in [H^1(\Omega)]^3 \times [H^1(\Omega)]^2 \right\} \cap \mathcal{BC}.$$

Modelo de Naghdi

$$\mathcal{U} := \{(\vec{u} := (\underline{u}, u_3), \underline{\theta} := (\theta_1, \theta_2)) \in [H^1(\Omega)]^3 \times [H^1(\Omega)]^2\} \cap BC.$$

$$\left\{ \begin{array}{l} \text{Hallar } \omega \in \mathbb{R}^+ \text{ y } (\vec{u}, \underline{\theta}) \in \mathcal{U} \text{ tales que} \\ A((\vec{u}, \underline{\theta}), (\vec{v}, \underline{\eta})) = \omega^2 B((\vec{u}, \underline{\theta}), (\vec{v}, \underline{\eta})) \quad \forall (\vec{v}, \underline{\eta}) \in \mathcal{U}. \end{array} \right.$$

Modelo de Naghdi

$$\mathcal{U} := \{(\vec{u} := (\underline{u}, u_3), \underline{\theta} := (\theta_1, \theta_2)) \in [H^1(\Omega)]^3 \times [H^1(\Omega)]^2\} \cap BC.$$

$$\left\{ \begin{array}{l} \text{Hallar } \omega \in \mathbb{R}^+ \text{ y } (\vec{u}, \underline{\theta}) \in \mathcal{U} \text{ tales que} \\ A((\vec{u}, \underline{\theta}), (\vec{v}, \underline{\eta})) = \omega^2 B((\vec{u}, \underline{\theta}), (\vec{v}, \underline{\eta})) \quad \forall (\vec{v}, \underline{\eta}) \in \mathcal{U}. \end{array} \right.$$

$$\begin{aligned} A((\vec{u}, \underline{\theta}), (\vec{v}, \underline{\eta})) &:= t^3 D^f((\vec{u}, \underline{\theta}), (\vec{v}, \underline{\eta})) \\ &+ t D^m(\vec{u}, \vec{v}) + t D^c((\vec{u}, \underline{\theta}), (\vec{v}, \underline{\eta})). \end{aligned}$$

Modelo de Naghdi

$$\mathcal{U} := \{(\vec{u} := (\underline{u}, u_3), \underline{\theta} := (\theta_1, \theta_2)) \in [H^1(\Omega)]^3 \times [H^1(\Omega)]^2\} \cap BC.$$

$$\left\{ \begin{array}{l} \text{Hallar } \omega \in \mathbb{R}^+ \text{ y } (\vec{u}, \underline{\theta}) \in \mathcal{U} \text{ tales que} \\ A((\vec{u}, \underline{\theta}), (\vec{v}, \underline{\eta})) = \omega^2 B((\vec{u}, \underline{\theta}), (\vec{v}, \underline{\eta})) \quad \forall (\vec{v}, \underline{\eta}) \in \mathcal{U}. \end{array} \right.$$

$$\begin{aligned} A((\vec{u}, \underline{\theta}), (\vec{v}, \underline{\eta})) &:= t^3 D^f((\vec{u}, \underline{\theta}), (\vec{v}, \underline{\eta})) \\ &+ \cancel{t D^m(\vec{u}, \vec{v})} + t D^c((\vec{u}, \underline{\theta}), (\vec{v}, \underline{\eta})). \end{aligned}$$

Caso particular: Flexión de Placas de Reissner-Mindlin.

Caso Particular: Placas.

Sea $\Omega \subset \mathbb{R}^2$ un dominio poligonal convexo.

(PC) Hallar $(\beta, w) \in H_0^1(\Omega)^2 \times H_0^1(\Omega)$ y $\lambda := \rho \omega^2 / t^2 > 0$:

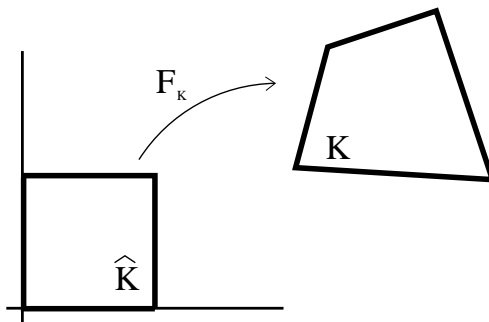
$$\begin{cases} a(\beta, \eta) + (\gamma, \nabla v - \eta) = \lambda \left[(w, v) + \frac{t^2}{12} (\beta, \eta) \right] \\ \gamma = \frac{\kappa}{t^2} (\nabla w - \beta) \end{cases} \quad \forall (\eta, v) \in H_0^1(\Omega)^2 \times H_0^1(\Omega).$$

$$a(\beta, \eta) := \frac{E}{12(1 - \nu^2)} \int_{\Omega} \left[\sum_{i,j=1}^2 (1 - \nu) \varepsilon_{ij}(\beta) \varepsilon_{ij}(\eta) + \nu \operatorname{div} \beta \operatorname{div} \eta \right]$$

$\varepsilon_{ij}(\beta)$: tensor lineal de deformación.

Discretización.

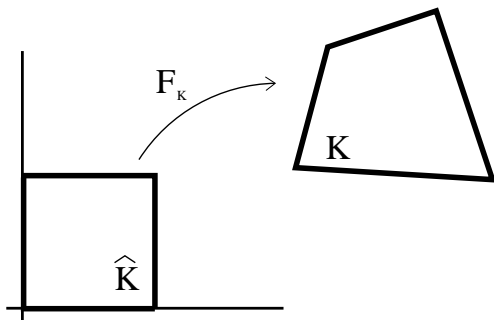
$$\left\{ \begin{array}{l} \text{Hallar } \omega_h \in \mathbb{R}^+ \text{ y } (\vec{u}_h, \underline{\theta}_h) \in \mathcal{U}_h \text{ tales que} \\ A_h((\vec{u}_h, \underline{\theta}_h), (\vec{v}_h, \underline{\eta}_h)) = \omega_h^2 B((\vec{u}_h, \underline{\theta}_h), (\vec{v}_h, \underline{\eta}_h)) \quad \forall (\vec{v}_h, \underline{\eta}_h) \in \mathcal{U}_h \end{array} \right.$$



Transformacion bilineal

Discretización.

$$\left\{ \begin{array}{l} \text{Hallar } \omega_h \in \mathbb{R}^+ \text{ y } (\vec{u}_h, \underline{\theta}_h) \in \mathcal{U}_h \text{ tales que} \\ A_h((\vec{u}_h, \underline{\theta}_h), (\vec{v}_h, \underline{\eta}_h)) = \omega_h^2 B((\vec{u}_h, \underline{\theta}_h), (\vec{v}_h, \underline{\eta}_h)) \quad \forall (\vec{v}_h, \underline{\eta}_h) \in \mathcal{U}_h \end{array} \right.$$



Transformacion bilineal

MITC4:

$$D^c \rightarrow D^c \left(\mathbf{R}(\vec{u}_h, \underline{\theta}_h), \mathbf{R}(\vec{v}_h, \underline{\eta}_h) \right)$$

R: Operador de integración reducida.

Discretización. Placas.

Sea $\{\mathcal{T}_h\}$ decomposición de Ω en cuadrilateros convexos K .

$$H_h \subset \mathbf{H}_0^1(\Omega)^2, \quad W_h \subset \mathbf{H}_0^1(\Omega), \quad \Gamma_h \subset \mathbf{L}^2(\Omega),$$

con $\nabla W_h \subset \Gamma_h$.

(PD) Hallar $(\beta_h, w_h) \in H_h \times W_h$ y $\lambda_h \in \mathbb{R}$:

$$\begin{cases} a(\beta_h, \eta) + (\gamma_{th}, \nabla v - \mathbf{R}\eta) = \lambda_h \left[(w_h, v) + \frac{t^2}{12} (\beta_h, \eta) \right] \\ \gamma_{th} = \frac{\kappa}{t^2} (\nabla w_h - \mathbf{R}\beta_h) \end{cases} \quad \forall (\eta, v) \in H_h \times W_h.$$

Discretización. Placas.

Método MITC4:

$$H_h^1 := \{\eta \in H_0^1(\Omega)^2 : \eta|_K \in Q(K)^2, \forall K \in \mathcal{T}_h\}.$$

$$W_h := \{\eta \in H_0^1(\Omega)^2 : \eta|_K \in Q(K)^2, \forall K \in \mathcal{T}_h\}.$$

donde $Q(K) := \{p : p \circ F_K \in Q_1(\hat{K})\}$.

$$\Gamma_h := \{\psi \in H_0(\text{rot}, \Omega) : \psi|_K \in \mathcal{N}(K), \forall K \in \mathcal{T}_h\},$$

$$\mathcal{N}(K) := \{p : p \circ F_K = DF_K^{-T} \hat{p}, \hat{p} \in Q_{0,1}(\hat{K}) \times Q_{1,0}(\hat{K})\}.$$

Discretización. Placas.

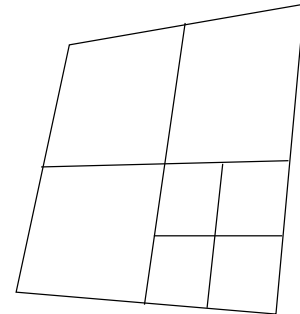
Operador de Reducción

$$\mathbf{R} : \mathrm{H}^1(\Omega)^2 \cap H_0(\mathrm{rot}, \Omega) \longrightarrow \Gamma_h,$$

$$\int_{\ell} \mathbf{R}\psi \cdot \tau = \int_{\ell} \psi \cdot \tau.$$

$$\int_K \mathrm{rot}(\psi - \mathbf{R}\psi) = 0, \quad \|\psi - \mathbf{R}\psi\|_0 \leq Ch\|\psi\|_1.$$

Convergencia.



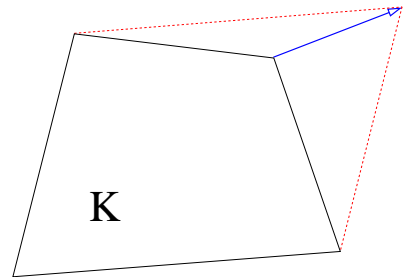
Macro elementos (MITC4)

Teorema: Sea (β, w) y (β_h, w_h) las correspondientes autofunciones asociadas a los autovalores λ_k y λ_{kh} . Entonces,

$$\|(\beta, w) - (\beta_h, w_h)\|_{H^1(\Omega)^2 \times H^1(\Omega)} \leq Ch,$$

con C una constante independiente de t y h . \square

Convergencia.



Mallas asintóticamente afines

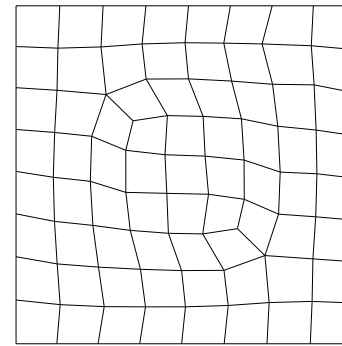
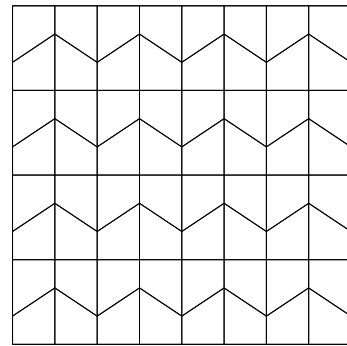
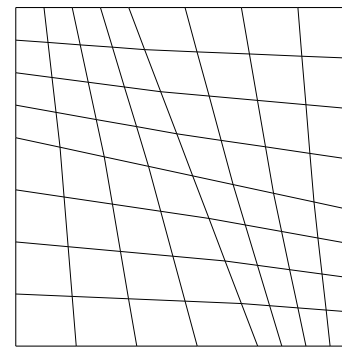
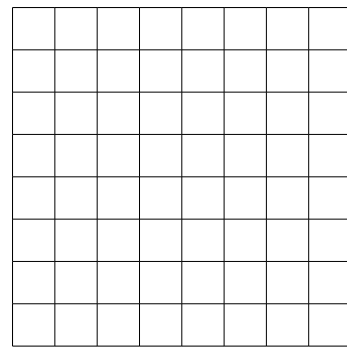
Teorema: Entonces,

$$|\lambda_k - \lambda_{kh}| \leq Ch^2$$

$$\|(\beta, w) - (\beta_h, w_h)\|_{L^2(\Omega)^2 \times L^2(\Omega)} \leq Ch^2,$$

con una constante C independiente de t y h . \square

Ejemplos numéricos.



Mallados de una placa cuadrada.

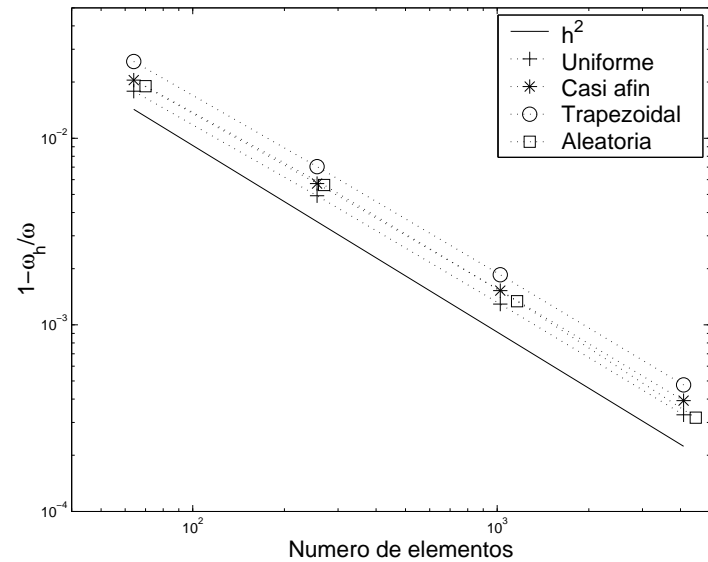
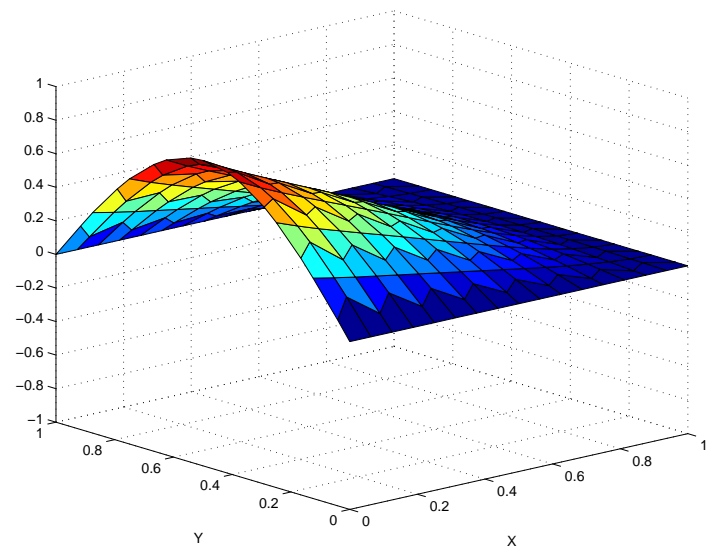
Ejemplos numéricos. Placa S-C-S-F $t/L = 0.1$

Mesh	Mode	$N = 16$	$N = 32$	$N = 64$	“exact”	H-H
\mathcal{T}_h^U	$\hat{\omega}_{11}$	0.6004	0.5983	0.5977	0.5975	0.598
	$\hat{\omega}_{21}$	1.4955	1.4860	1.4835	1.4826	1.483
\mathcal{T}_h^A	$\hat{\omega}_{11}$	0.6009	0.5984	0.5977	0.5975	0.598
	$\hat{\omega}_{21}$	1.4975	1.4866	1.4836	1.4826	1.483
\mathcal{T}_h^T	$\hat{\omega}_{11}$	0.6017	0.5986	0.5978	0.5975	0.598
	$\hat{\omega}_{21}$	1.4996	1.4871	1.4838	1.4829	1.483
\mathcal{T}_h^R	$\hat{\omega}_{11}$	0.6009	0.5983	0.5977	0.5975	0.598
	$\hat{\omega}_{21}$	1.4978	1.4865	1.4837	1.4827	1.483

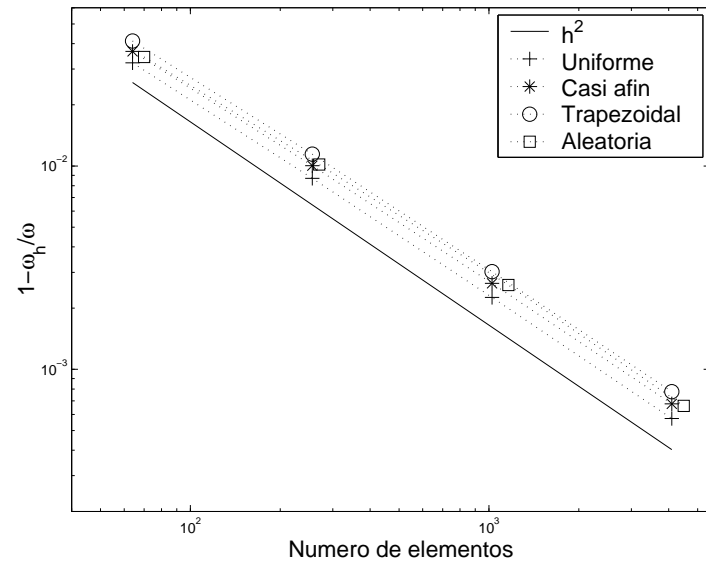
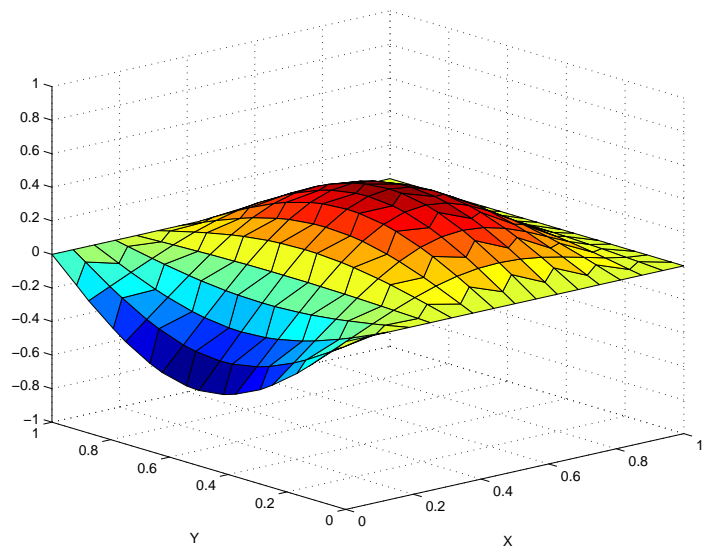
Ejemplos numéricos. Placa S-C-S-F $t/L = 0.0001$.

Mesh	Mode	$N = 16$	$N = 32$	$N = 64$	“exact”
\mathcal{T}_h^U	$\hat{\omega}_{11}$	0.6213×10^{-3}	0.6196×10^{-3}	0.6192×10^{-3}	0.6190×10^{-3}
	$\hat{\omega}_{21}$	1.6255×10^{-3}	1.6164×10^{-3}	1.6141×10^{-3}	1.6134×10^{-3}
\mathcal{T}_h^A	$\hat{\omega}_{11}$	0.6217×10^{-3}	0.6197×10^{-3}	0.6192×10^{-3}	0.6190×10^{-3}
	$\hat{\omega}_{21}$	1.6274×10^{-3}	1.6169×10^{-3}	1.6142×10^{-3}	1.6134×10^{-3}
\mathcal{T}_h^T	$\hat{\omega}_{11}$	0.6233×10^{-3}	0.623×10^{-3}	0.6194×10^{-3}	0.6190×10^{-3}
	$\hat{\omega}_{21}$	1.6313×10^{-3}	1.6181×10^{-3}	1.6146×10^{-3}	1.6133×10^{-3}
\mathcal{T}_h^R	$\hat{\omega}_{11}$	0.6218×10^{-3}	0.6197×10^{-3}	0.6192×10^{-3}	0.6190×10^{-3}
	$\hat{\omega}_{21}$	1.6283×10^{-3}	1.6171×10^{-3}	1.6143×10^{-3}	1.6131×10^{-3}

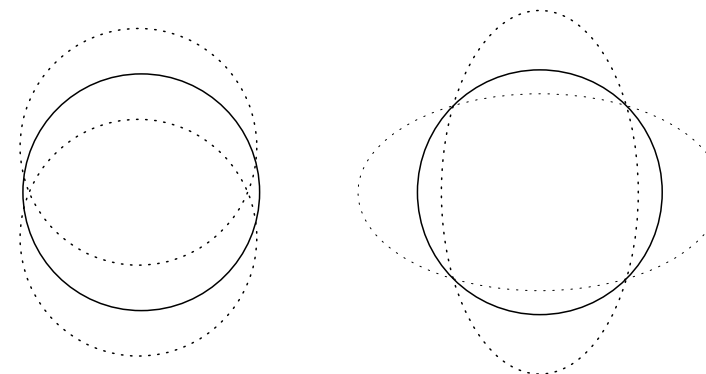
Primer modo de una Placa S-C-S-F



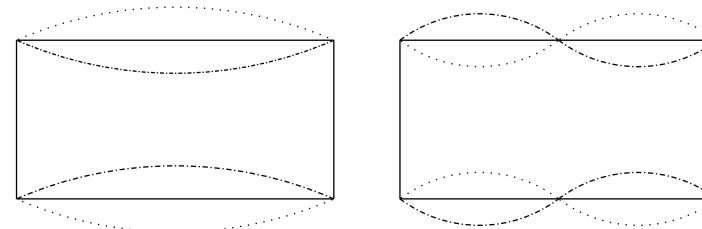
Segundo modo de una Placa S-C-S-F



Estructuras más generales. Cáscara Cilíndrica.



Modos Circunferenciales

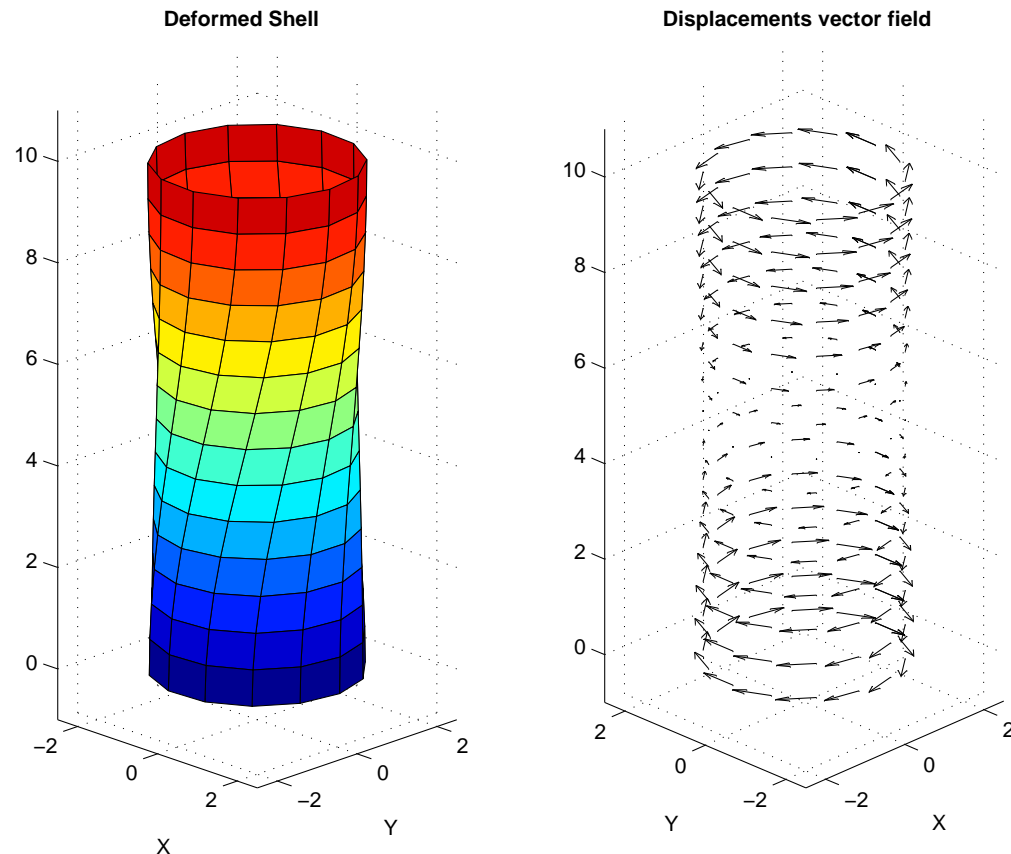


Modos Axiales

Estructuras más generales. Cáscara Cilíndrica.

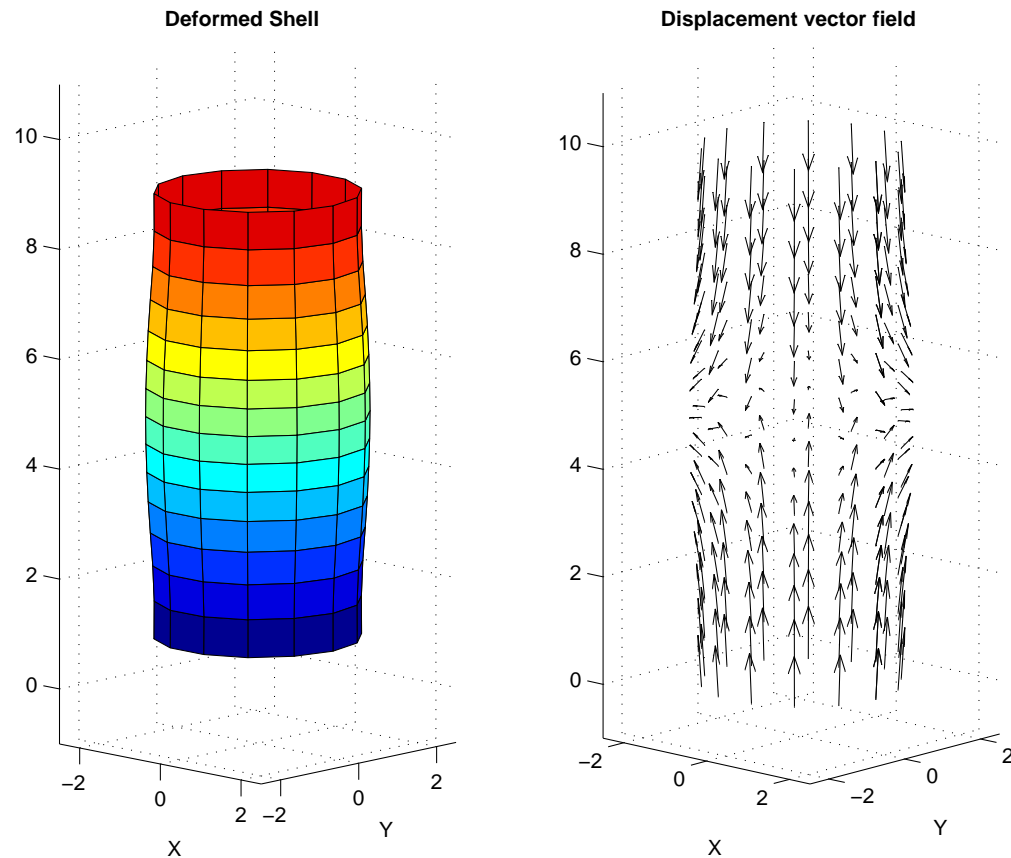
Modo	$N = 10$	$N = 20$	$N = 40$	“exact”	CH
torsion	156.6354	156.1536	156.0333	155.9930	155.05
$n=0\ m=0$	246.3435	245.5347	245.3311	245.2629	243.50
$n=1\ m=0$	157.4533	147.3331	144.8173	143.9885	150.58
$n=1\ m=1$	242.0222	234.4688	232.5655	231.9264	223.17
$n=1\ m=2$	322.4530	314.9537	313.0779	312.4533	296.79
$n=2\ m=0$	192.0059	111.8841	85.9812	73.6300	63.26
$n=2\ m=1$	195.1902	115.0604	89.3939	77.2358	67.16
$n=3\ m=0$	445.6543	264.8193	221.1085	207.2203	173.99
$n=3\ m=1$	449.5729	269.2100	225.4787	211.3448	179.06

Estructuras más generales. Cáscara Cilíndrica.



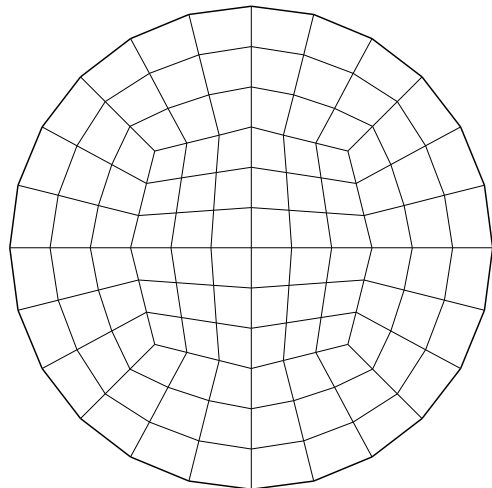
Cilindro Libre. Primer modo torsional.

Estructuras más generales. Cáscara Cilíndrica.

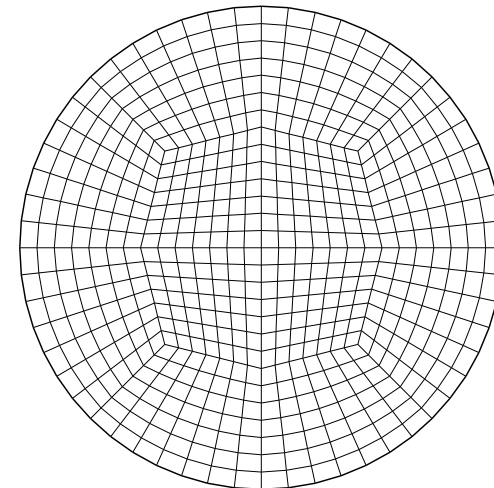


Cilindro Libre. Modo $n = 0, m = 1$.

Estructuras más generales. Semiesfera empotrada.

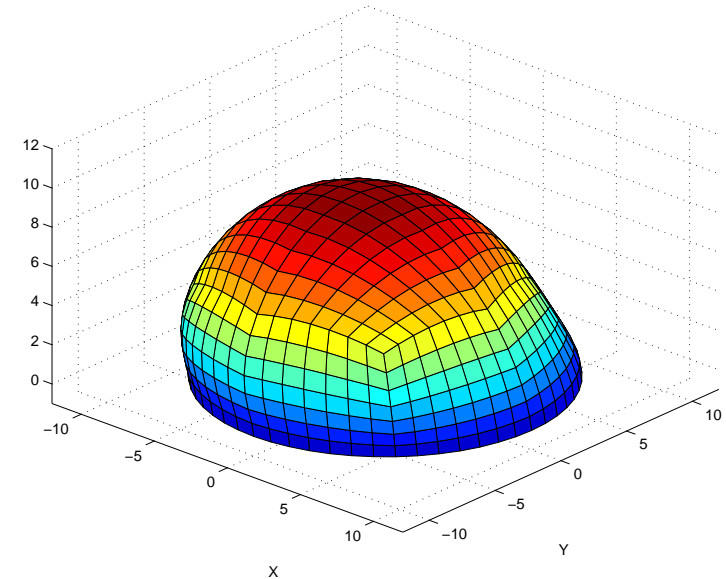
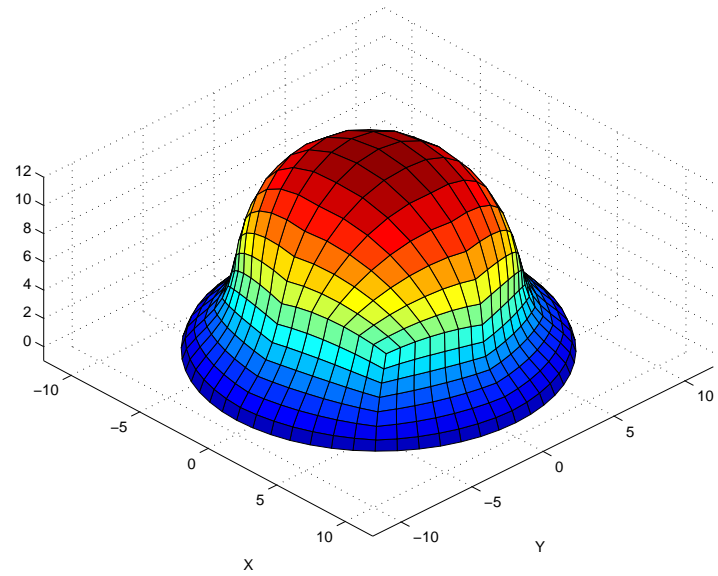


$N=4$

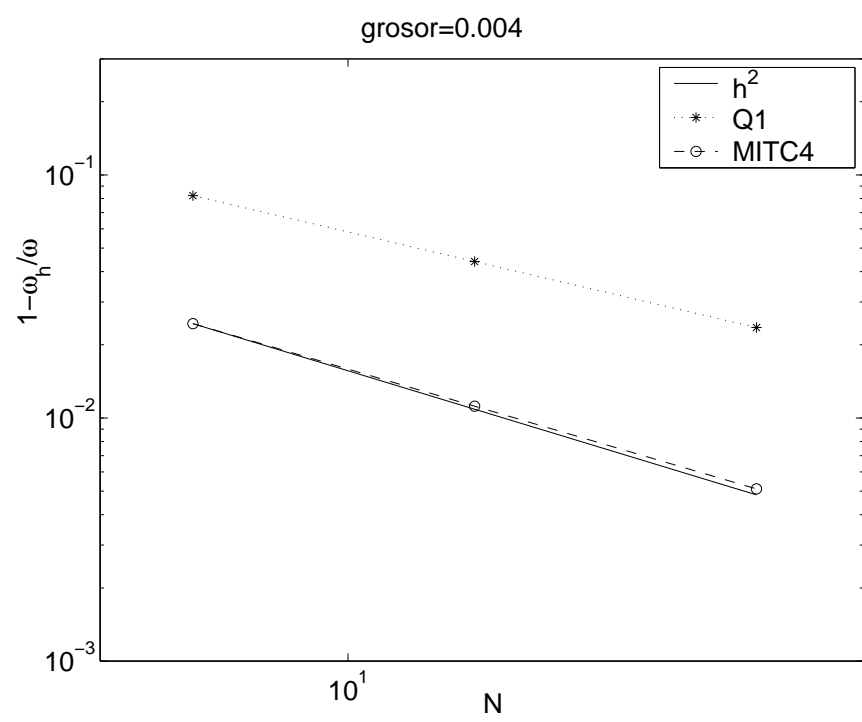
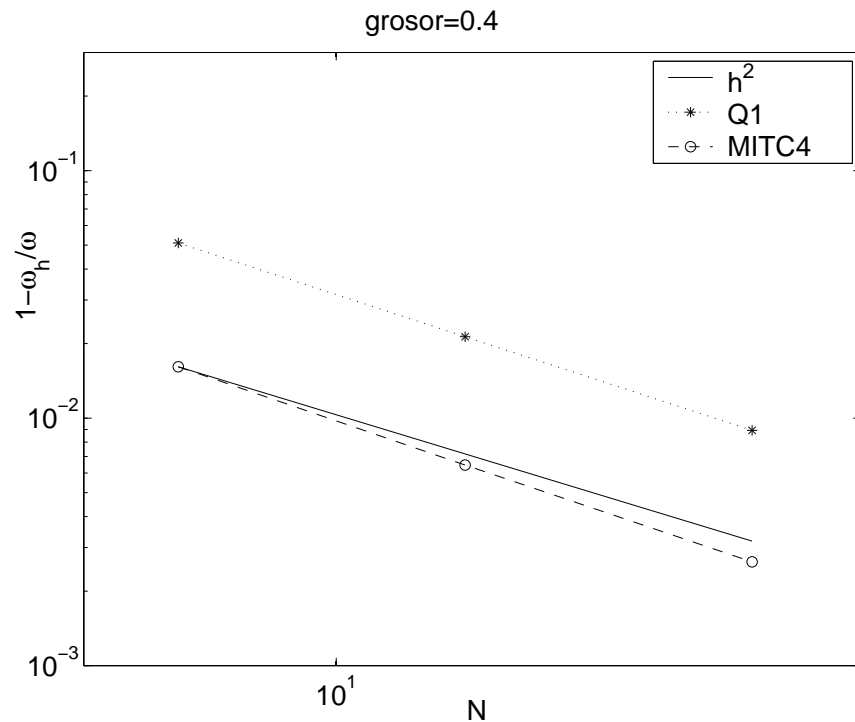


$N=8$

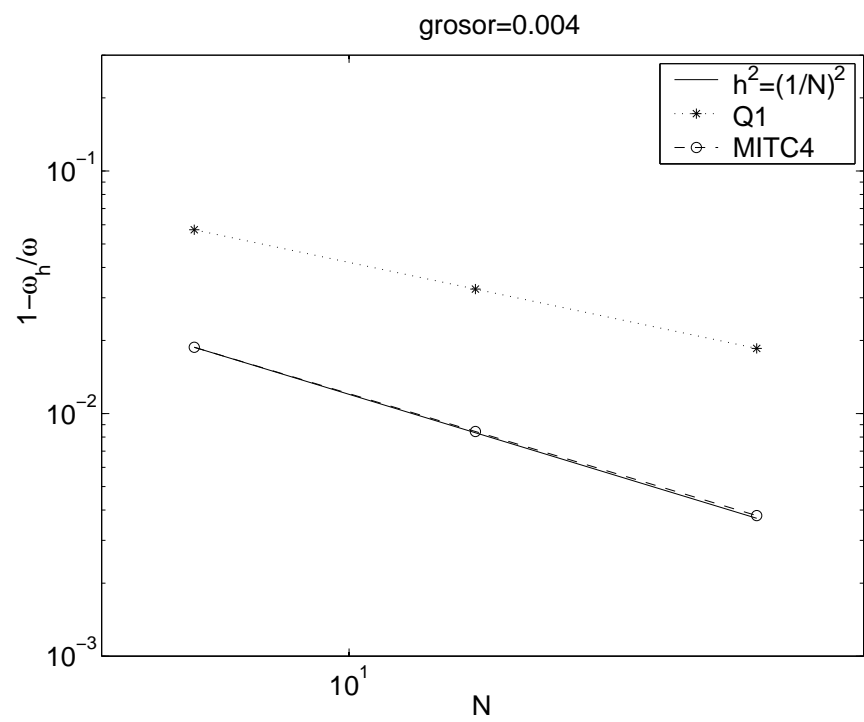
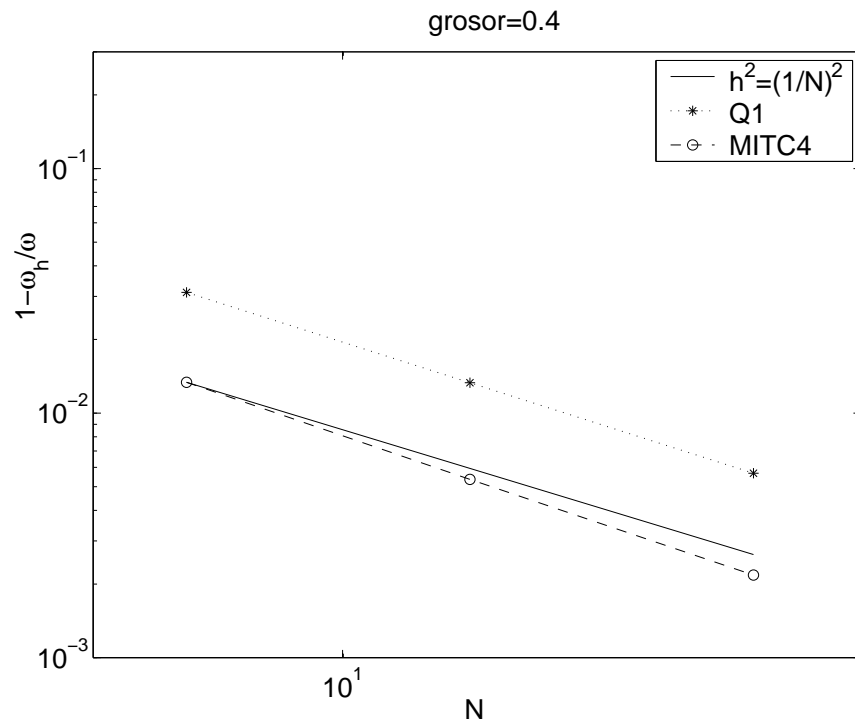
Estructuras más generales



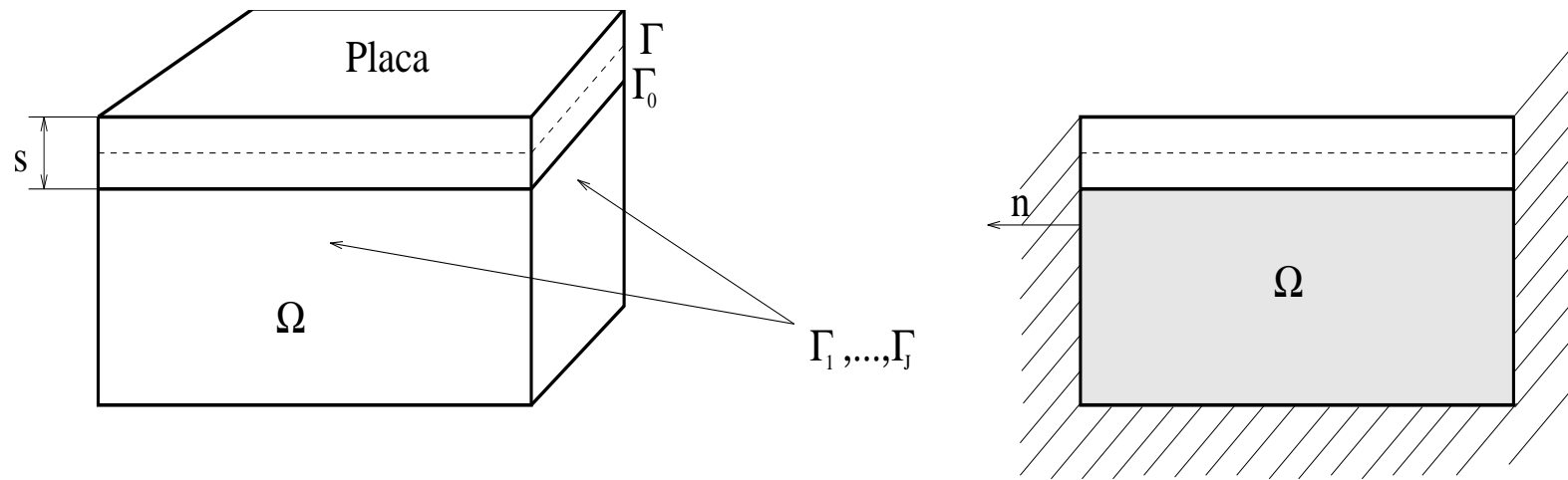
Estructuras más delgadas



Estructuras más delgadas



Interacción. Problema Placa-Fluido



Interacción. Problema Placa-Fluido

(PC) Hallar $\lambda \in \mathbb{R}$ y $0 \neq (w, \beta, u) \in \mathcal{V}$ tales que

$$\begin{aligned} t^3 a(\beta, \eta) + \kappa t \int_{\Gamma} (\nabla w - \beta) \cdot (\nabla v - \eta) + \int_{\Omega} \rho_F c^2 \operatorname{div} u \operatorname{div} \phi \\ = \lambda \left(t \int_{\Gamma} \rho_P w v + \frac{t^3}{12} \int_{\Gamma} \rho_P \beta \cdot \eta + \int_{\Omega} \rho_F u \cdot \phi \right) \end{aligned}$$

■ $\lambda = 0$

$\mathcal{K} := \{(0, 0, \phi) \in \mathcal{V} : \operatorname{div} \phi = 0 \text{ en } \Omega \text{ y } \phi \cdot n = 0 \text{ en } \partial\Omega\}.$

■ $\lambda \neq 0$

$\mathcal{G} := \{(v, \eta, \phi) \in \mathcal{V} : \phi = \nabla q \text{ para algún } q \in H^1(\Omega)\}.$

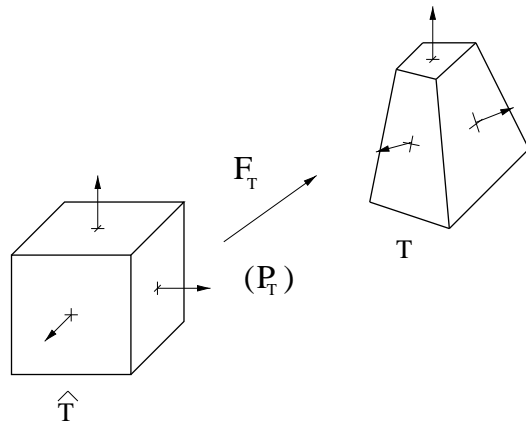
Discretización

Placa: MITC4

$$W_h := \{v_h \in H_0^1(\Gamma) : v_h|_K \in Q(K) \forall K \in \mathcal{T}_h^\Gamma\},$$
$$H_h := \{\eta \in H_0^1(\Gamma)^2 : \eta|_K \in Q(K)^2 \forall K \in \mathcal{T}_h^\Gamma\}.$$

Fluido: Elementos hexaédricos de Raviart-Thomas.

$$R_h := \{\phi_h \in H(\text{div}, \Omega) : \phi_h|_K \in \mathcal{RT}(\mathbf{K}) \forall \mathbf{K} \in \mathcal{T}_h\}.$$



$$\int_{\mathcal{F}} \phi_h \cdot n = \int_{\mathcal{F}} v_h \quad \forall \mathcal{F} \in (\partial\Omega \cup \Gamma)$$

Convergencia

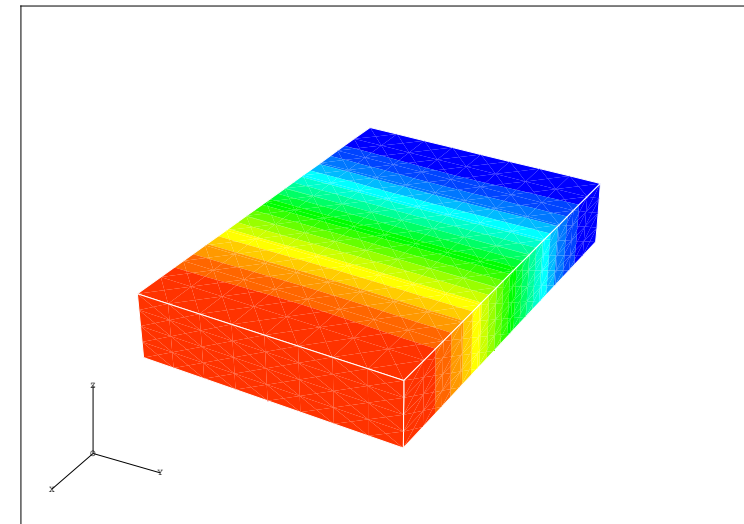
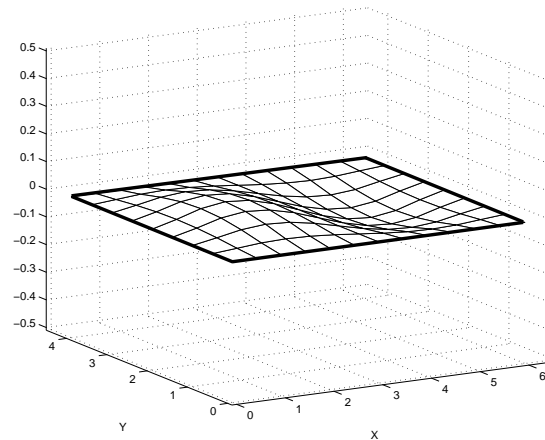
Teorema: Sea λ un autovalor de **PC**. Sea λ_h un autovalor de **PD** que converge a λ cuando h tiende a cero. Sea (w, β, u) y (w_h, β_h, u_h) las autofunciones correspondientes a μ_t y μ_{th} . Entonces, para t y h suficientemente pequeños, se tiene

$$\|(w, \beta, u) - (w_h, \beta_h, u_h)\| \leq Ch$$

$$|\lambda_t - \lambda_h| \leq Ch^2. \square$$

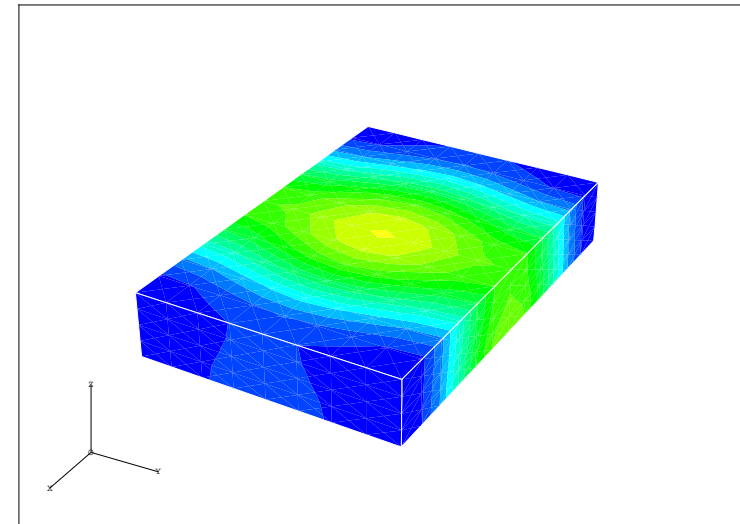
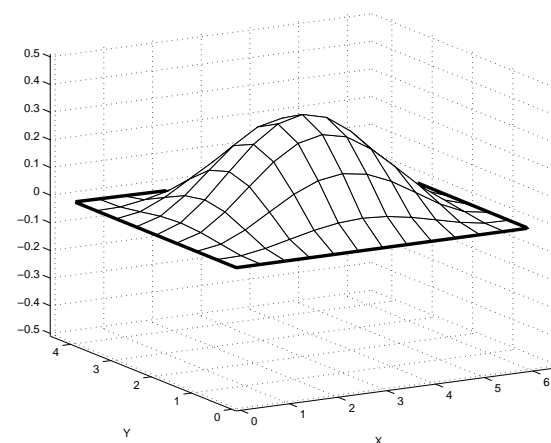
Ejemplos numéricos. Primer modo fluido

$N = 4$	$N = 5$	$N = 6$	$N = 7$	ORD	extrap
745.5411	744.6309	744.1355	743.8364	1.99	743.002848

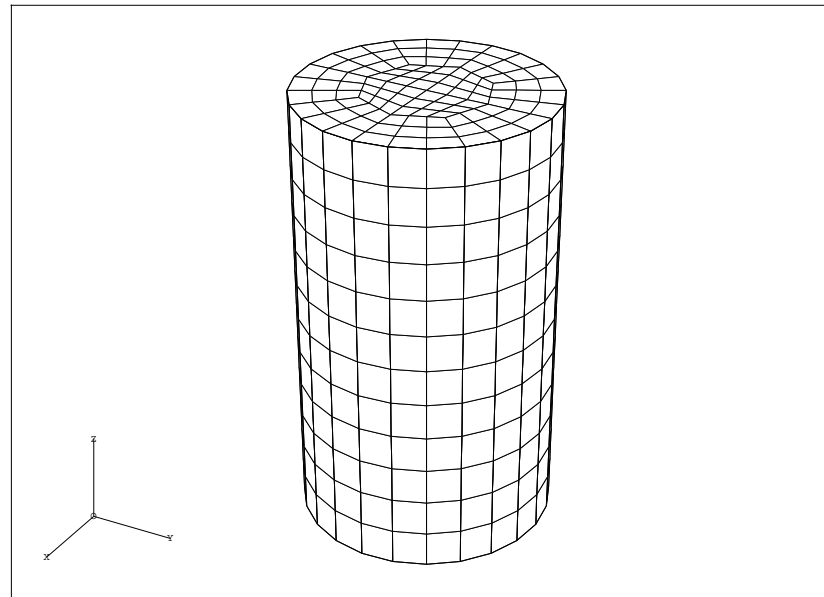


Ejemplos numéricos. Primer modo placa

$N = 4$	$N = 5$	$N = 6$	$N = 7$	ORD	extrap
1126.6920	1123.8563	1122.3137	1121.3828	1.99	1118.786303

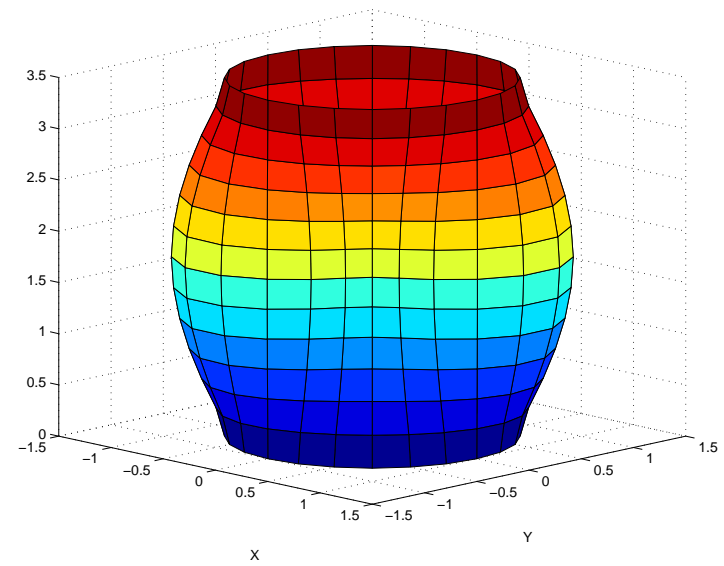
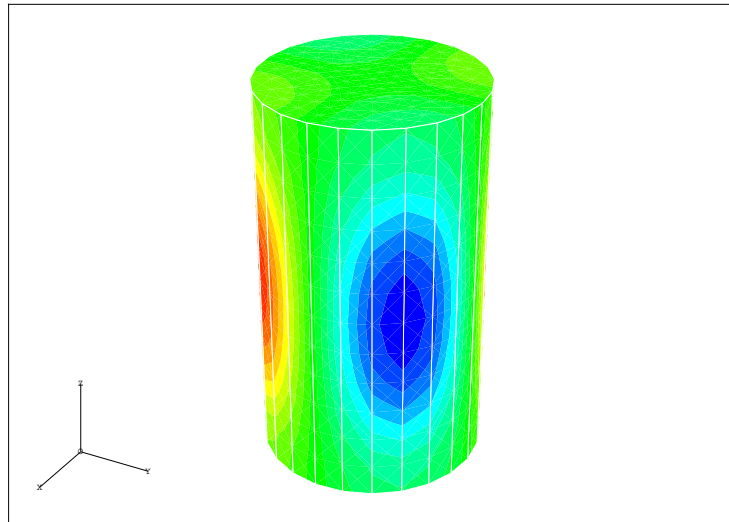


Un caso más general: cáscara-fluido



Primer modo sólido

$N = 4$	$N = 5$	$N = 6$	ORD	exacto	discrep.
1162.56	1160.23	1159.16	1.99	1157.25	0.165%



Primer modo fluido

$N = 4$	$N = 5$	$N = 6$	ORD	exacto	discrep.
1213.32	1204.31	1200.15	2.00	1192.80	0.616%

